

# SLAM

## Simultaneous Localization and Mapping



# Simultaneous Localization And Mapping



- SLAM – Problematik
- SLAM – Arten
- SLAM – Methoden:
  - (E)KF SLAM
  - GraphSLAM
  - Fast SLAM

# SLAM - Problematik



- Ziel: Karte und Pose bestimmen
- Fragen:
  - Wie sieht die Welt aus?
  - Wo bin ich?
- Bekannt:
  - Kontrolldaten, z.B. Odometriedaten (Daten des Vortriebssystems)  $z_t$
  - Sensordaten (erfasste Landmarken)  $u_t$

# Probleme Odometrie

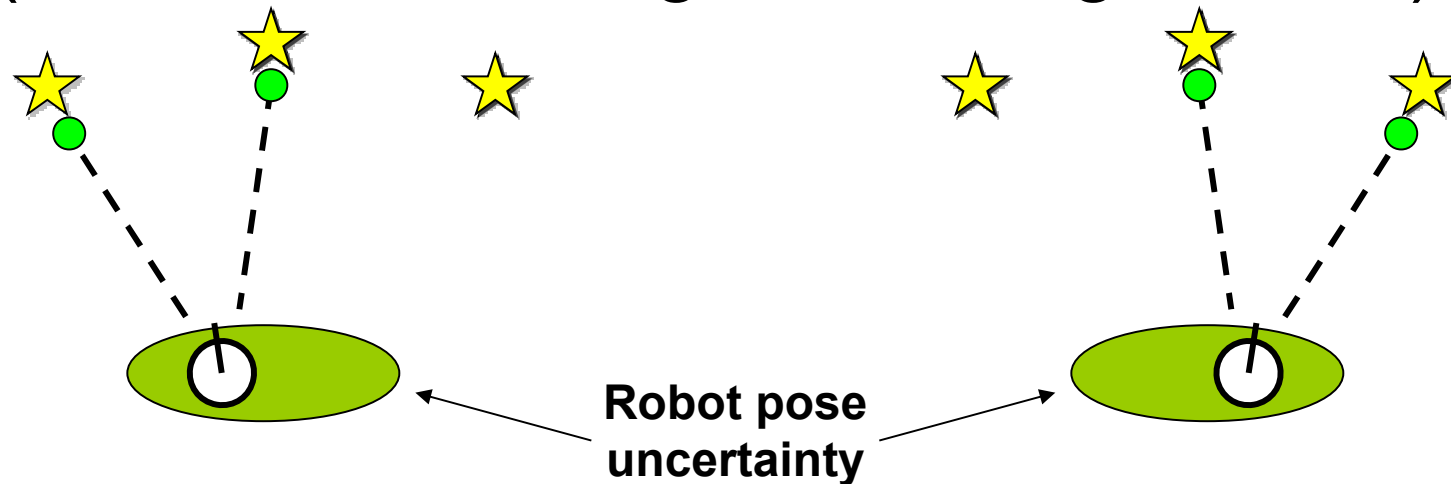


- Positionsmessung ungenau auf Grund von:
  - Bodenbeschaffenheit
  - Verschleiß
  - Ungleichmäßige Gewichtsverteilung
  - etc.

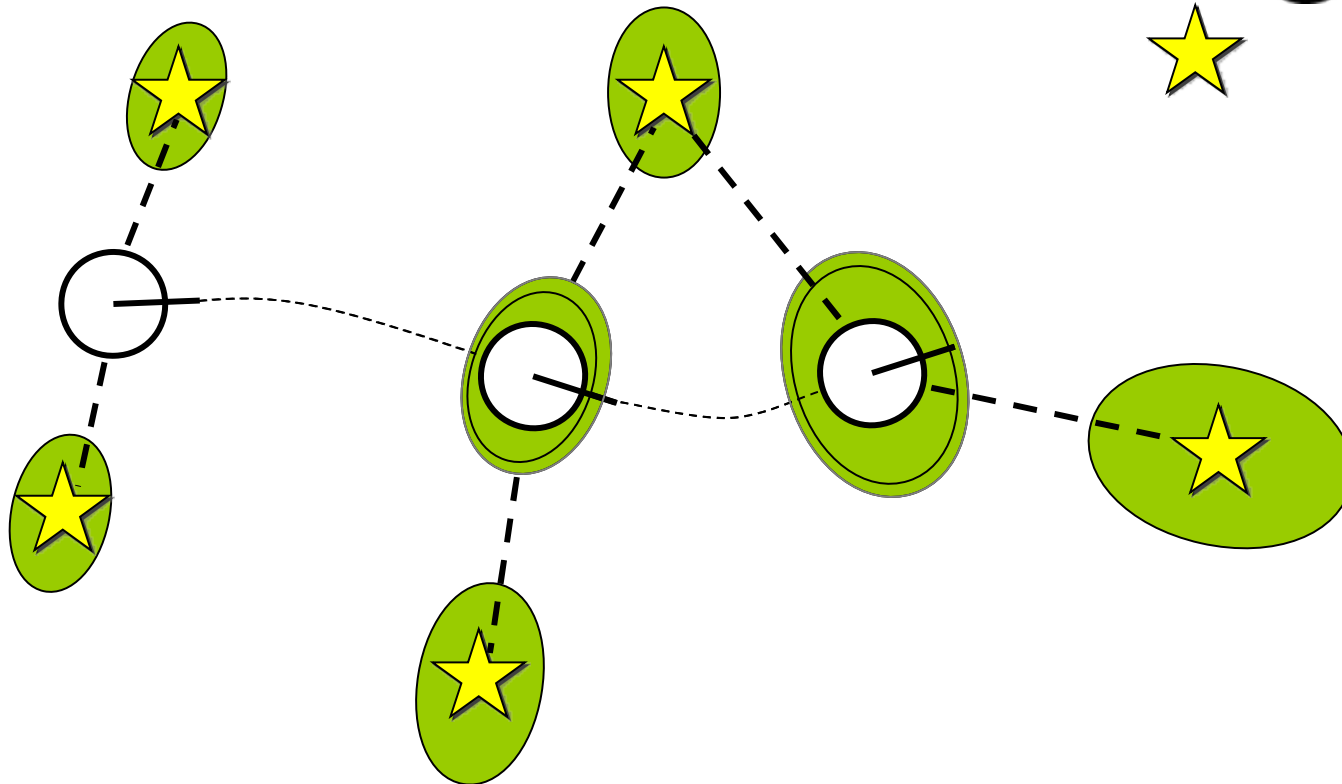
# Probleme durch Sensordaten



- Ungenauigkeit der Sensoren  
Noise (Rauschen)
- Gleichartigkeit der Landmarken  
(Landmarken mit gleichen Signaturen)



# Pfad- und Kartenfehler



**Pfadfehler und Kartenfehler korrelieren!**

# Markov Annahme (Markov Assumption)

---



## Statische Welt

- Alle Landmarken sind unbeweglich
- Außer dem Roboter gibt es keine weiteren bewegliche Elemente
- Aktueller Zustand ist eine komplette Zusammenfassung der Vergangenheit (und kann dadurch aus dieser ermittelt werden)

# Einführung der Variablen



$Z_t$  Messung (Beobachtung) zum Zeitpunkt  $t$

$u_t$  Kontrolldaten für Zeitpunkt  $t$  -> alle Daten im Intervall  $]t-1, t]$

$Z_{t_1:t_2}$  Menge aller Messungen (Sensordaten) von Zeitpunkt  $t_1$  bis  $t_2$

$u_{t_1:t_2}$  Menge aller Kontrolldaten von Zeitpunkt  $t_1$  bis  $t_2$

$x_t$  State, der Zustand des Systems zum Zeitpunkt  $t$  (durch die Annahme der statischen Welt beschränkt sich der Zustand auf die Pose des Roboters)

$m$  Map, die Karte



# Arten des SLAM-Problems



- **Online SLAM:** Schätzt aktuelle Pose und Karte

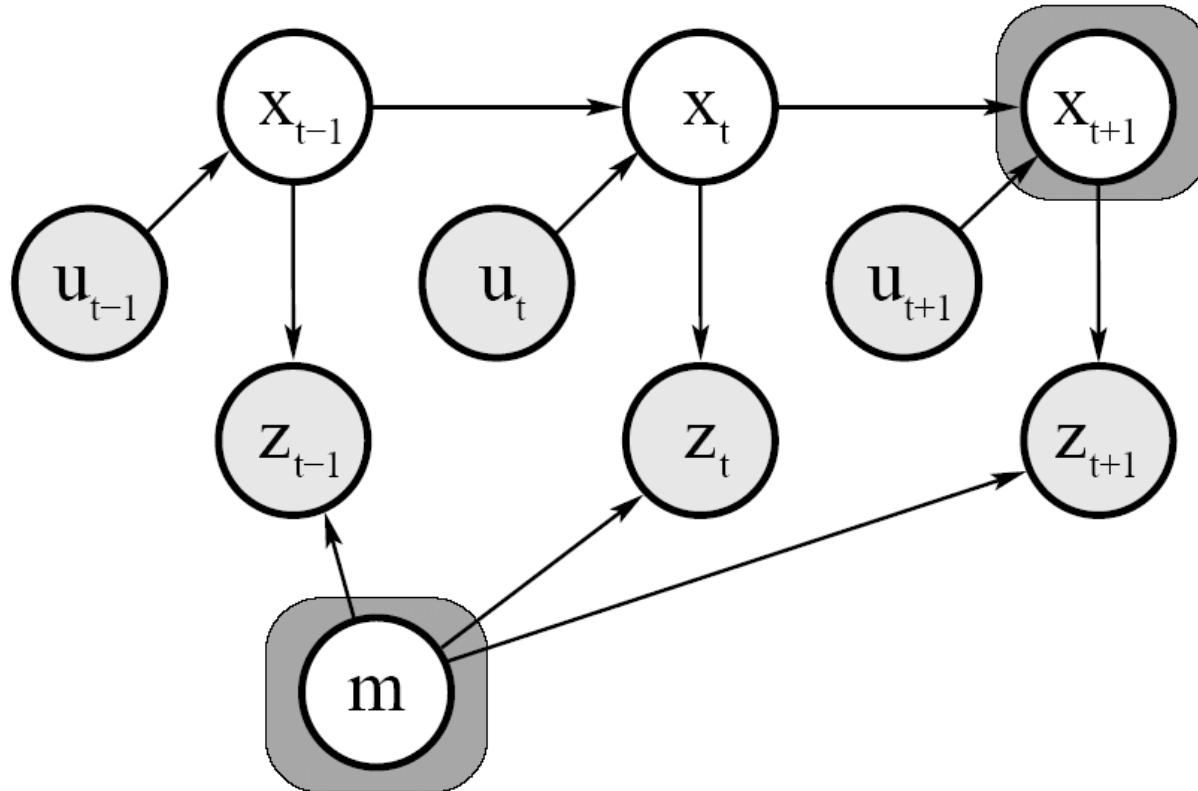
$$p(x_t, m \mid z_{1:t}, u_{1:t}) = \int \int \dots \int p(x_{1:t}, m \mid z_{1:t}, u_{1:t}) dx_1 dx_2 \dots dx_{t-1}$$

Integrationen werden normal schrittweise durchgeführt

- **Full SLAM:** Schätzt den ganzen Pfad und Karte

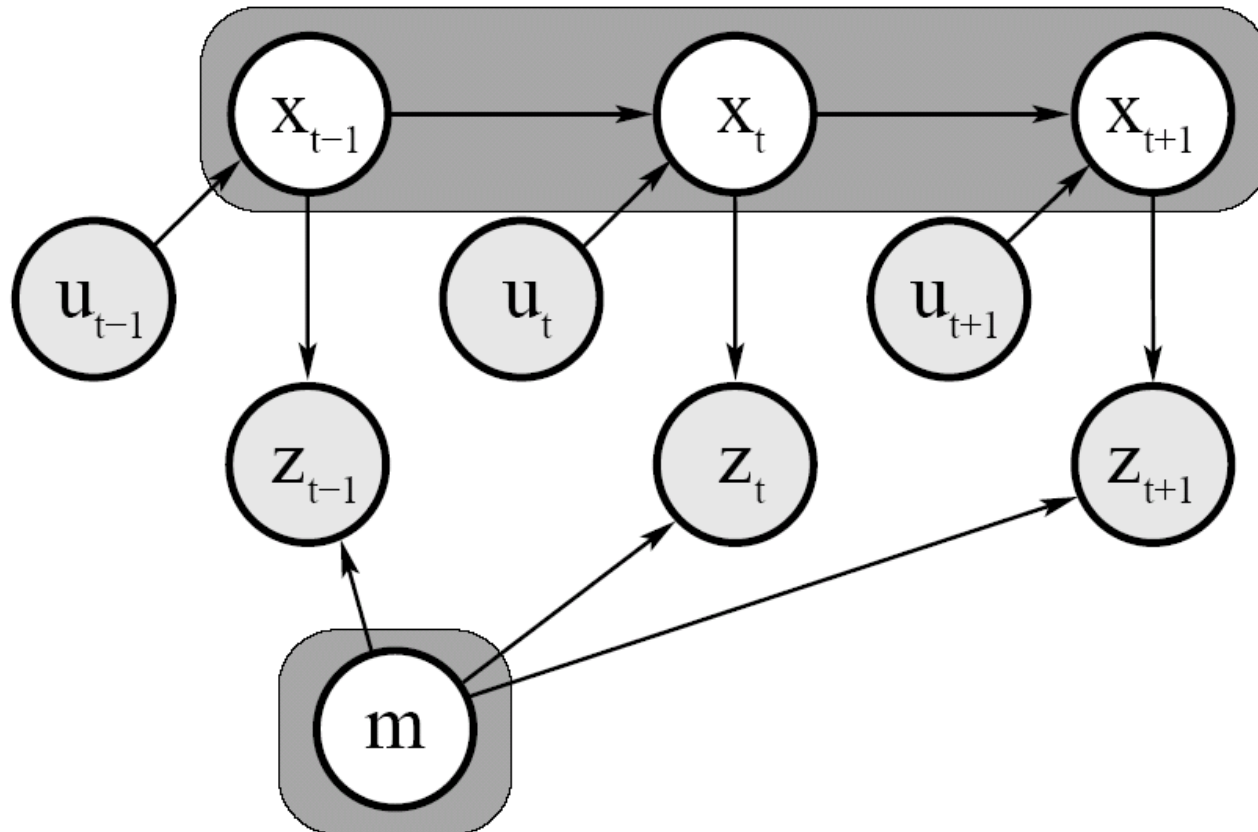
$$p(x_{1:t}, m \mid z_{1:t}, u_{1:t})$$

# Online SLAM: Graphisches Modell



$$p(x_t, m \mid z_{1:t}, u_{1:t}) = \int \int \dots \int p(x_{1:t}, m \mid z_{1:t}, u_{1:t}) dx_1 dx_2 \dots dx_{t-1}$$

# Full SLAM: Graphisches Modell



$$p(x_{1:t}, m \mid z_{1:t}, u_{1:t})$$

# (E)KF - SLAM



- Verwendet (Extended) Kalman Filter
- Online SLAM Verfahren
- Nutzt nur positive Landmarken-Sichtungen
- Annahme:
  - Rauschen (Noise) ist normal verteilt

# Kalman Filter



- Bayes Filter
- Von Swerling (1958) und Kalman (1960) entwickelt
- Belief wird durch den Erwartungswert  $\mu_t$  und die Kovarianz  $\Sigma_t$  repräsentiert

# Kalman Filter: Annahmen



1. Markov Assumption
2. Wahrscheinlichkeitsfunktion der Zustandsübergänge ist linear mit normal verteiltem Rauschen
3. Wahrscheinlichkeitsfunktion der Messungen ist ebenfalls linear mit normal verteiltem Rauschen
4. Initial belief  $bel(x_0)$  ist normal verteilt

# Komponenten des Kalman Filters



- $A_t$  Matrix ( $n \times n$ ), die beschreibt, wie sich der Zustand, ohne Kontrolldaten oder Rauschen, von  $t$  nach  $t-1$  entwickelt.
- $B_t$  Matrix ( $n \times m$ ), die beschreibt, wie die Kontrolldaten  $u_t$  den Zustand von  $t$  nach  $t-1$  ändern.
- $C_t$  Matrix ( $k \times n$ ), die beschreibt, wie der Zustand  $x_t$  auf eine Beobachtung  $z_t$  abgebildet wird.
- $\varepsilon_t$  Zufallsvariablen, die das Rauschen abbilden. Sie sind unabhängig und normalverteilt mit Kovarianz  $R_t$  and  $Q_t$ .
- $\delta_t$

# Kalman Filter Algorithmus



1. Algorithm **Kalman\_filter**(  $\mu_{t-1}, \Sigma_{t-1}, u_t, z_t$ ):

1. Vorhersage:

2.  $\bar{\mu}_t = A_t \mu_{t-1} + B_t u_t$

Vorhersage auf Grund  
der Kontrolldaten

3.  $\bar{\Sigma}_t = A_t \Sigma_{t-1} A_t^T + R_t$

4. Korrektur:

5.  $K_t = \bar{\Sigma}_t C_t^T (C_t \bar{\Sigma}_t C_t^T + Q_t)^{-1}$

6.  $\mu_t = \bar{\mu}_t + K_t (z_t - C_t \bar{\mu}_t)$

Korrektur anhand der  
Beobachtungen  
(Sensordaten)

7.  $\Sigma_t = (I - K_t C_t) \bar{\Sigma}_t$

8. **Return**  $\mu_t, \Sigma_t$

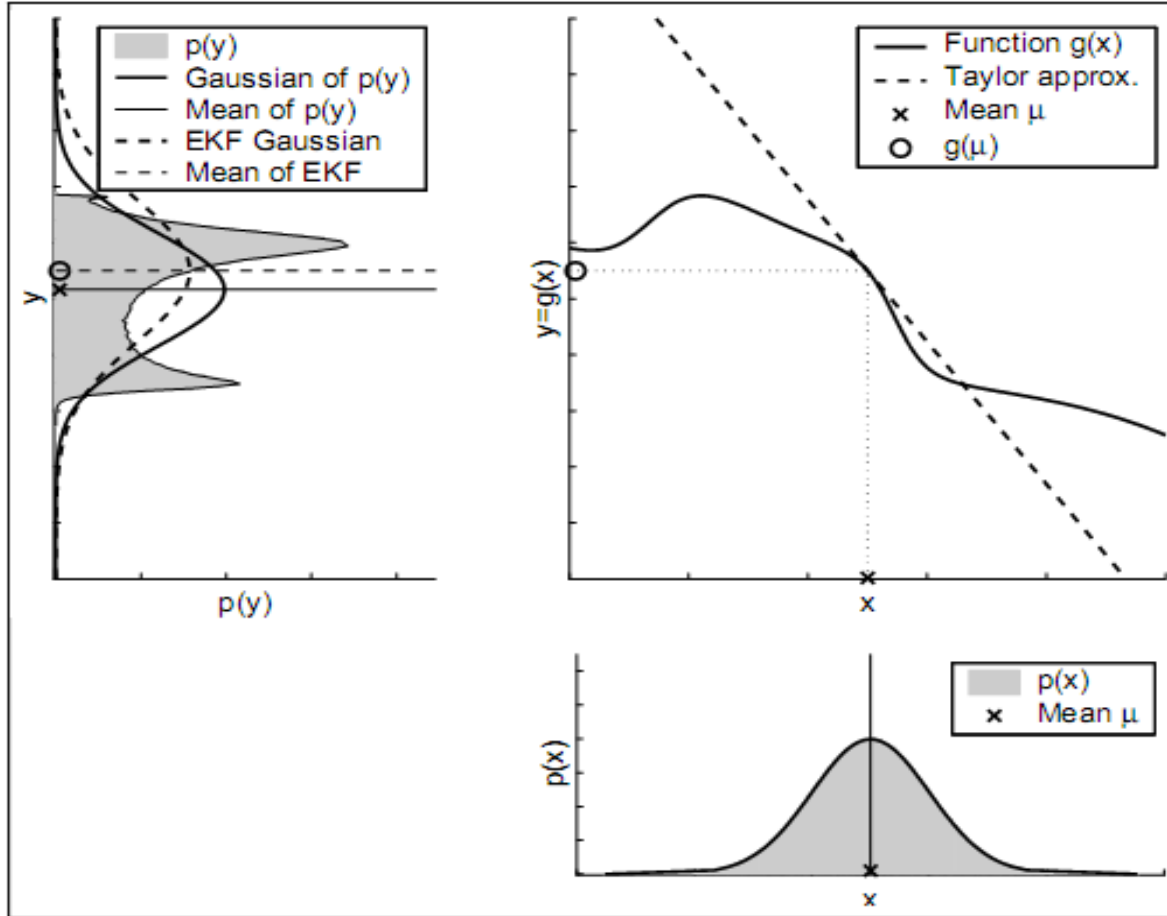


# Extended Kalman Filter



- Problem: Kalman Filter benötigt Linearität
- In der Realität ist diese Linearität häufig nicht gegeben.
  
- Lösung: Linearisierung
- Die nichtlineare Funktion  $g(x)$  wird durch ihre Tangente am Erwartungswert der Normalverteilung linearisiert

# EKF: Linearisierung



# Kombinierter Zustandsvektor



$$y_t = \begin{Bmatrix} x_t \\ m \end{Bmatrix} = \left\{ x \quad y \quad \theta \quad m_{1,x} \quad m_{1,y} \quad s_1 \quad m_{2,x} \quad m_{2,y} \quad s_2 \quad \dots \quad m_{N,x} \quad m_{N,y} \quad s_N \right\}^T$$

Der kombinierte Zustandsvektor besteht aus der Pose des Roboters und der Karte mit N Landmarken.

Die Pose des Roboters besteht aus x und y Koordinaten sowie der Ausrichtung des Roboters.

Die N Landmarken werden durch ihre Koordinaten und ihre Signatur im Vektor repräsentiert.

# EKF-SLAM Algorithmus Teil 1: Motion Update



1: Algorithm EKF\_SLAM\_known\_correspondence( $\mu_{t-1}, \Sigma_{t-1}, u_t, z_t, c_t$ ):

$$2: F_x = \begin{pmatrix} 1 & 0 & 0 & 0 & \dots & 0 \\ 0 & 1 & 0 & 0 & \dots & 0 \\ 0 & 0 & 1 & 0 & \dots & 0 \end{pmatrix}$$

$$3: \bar{\mu}_t = \mu_{t-1} + F_x^T \begin{pmatrix} -\frac{v_t}{w_t} \sin(\mu_{t-1,0}) + \frac{v_t}{w_t} \sin(\mu_{t-1,0} + w_t \Delta t) \\ \frac{v_t}{w_t} \cos(\mu_{t-1,0}) - \frac{v_t}{w_t} \cos(\mu_{t-1,0} + w_t \Delta t) \\ w_t \Delta t \end{pmatrix}$$

$$4: G_t = F_x^T \begin{pmatrix} 0 & 0 & -\frac{v_t}{w_t} \cos(\mu_{t-1,0}) + \frac{v_t}{w_t} \cos(\mu_{t-1,0} + w_t \Delta t) \\ 0 & 0 & -\frac{v_t}{w_t} \sin(\mu_{t-1,0}) + \frac{v_t}{w_t} \sin(\mu_{t-1,0} + w_t \Delta t) \\ 0 & 0 & 0 \end{pmatrix} F_x$$

$$5: \bar{\Sigma}_t = G_t \Sigma_{t-1} G_t^T + F_x^T R_t F_x$$

# EKF-SLAM Algorithmus Teil 2



$$6: Q_t = \begin{pmatrix} \sigma_r^2 & 0 & 0 \\ 0 & \sigma_\Phi^2 & 0 \\ 0 & 0 & \sigma_s^2 \end{pmatrix}$$

7: *for all observed features  $z_t^i = (r_t^i \Phi_t^i s_t^i)^T$  do*

8:  $j = c_t^i$

9: *if landmark  $j$  never seen before*

$$10: \begin{pmatrix} \bar{\mu}_{j,x} \\ \bar{\mu}_{j,y} \\ \bar{\mu}_{j,s} \end{pmatrix} = \begin{pmatrix} \bar{\mu}_{t,x} \\ \bar{\mu}_{t,y} \\ s_t^i \end{pmatrix} + \begin{pmatrix} r_t^i \cos(\Phi_t^i + \bar{\mu}_{t,0}) \\ r_t^i \sin(\Phi_t^i + \bar{\mu}_{t,0}) \\ 0 \end{pmatrix}$$

11: *endif*

$$12: \delta = \begin{pmatrix} \delta_x \\ \delta_y \end{pmatrix} = \begin{pmatrix} \bar{\mu}_{j,x} - \bar{\mu}_{t,x} \\ \bar{\mu}_{j,y} - \bar{\mu}_{t,y} \end{pmatrix}$$

7ff: Iteration über alle Messungen  
Messung = Entfernung, Richtung,  
Signatur

9-11: Initialisierung neuer  
(bisher unbekannter)  
Landmarken

# EKF-SLAM Algorithmus Teil 3



$$13: q = \delta^T \delta$$

$$14: \hat{z}_t^i = \begin{pmatrix} \sqrt{q} \\ \text{atan2}(\delta_y, \delta_x) - \mu_{t,0} \\ \mu_{j,s} \end{pmatrix}$$

Berechnung der „erwarteten“ Messung

$$15: F_{x,j} = \begin{pmatrix} 1 & 0 & 0 & 0 & \dots & 0 & 0 & 0 & 0 & 0 & \dots & 0 \\ 0 & 1 & 0 & 0 & \dots & 0 & 0 & 0 & 0 & 0 & \dots & 0 \\ 0 & 0 & 1 & 0 & \dots & 0 & 0 & 0 & 0 & 0 & \dots & 0 \\ 0 & 0 & 0 & 0 & \dots & 0 & 1 & 0 & 0 & 0 & \dots & 0 \\ 0 & 0 & 0 & 0 & \dots & 0 & 0 & 1 & 0 & 0 & \dots & 0 \\ 0 & 0 & 0 & 0 & \dots & 0 & 0 & 0 & 1 & 0 & \dots & 0 \end{pmatrix}$$

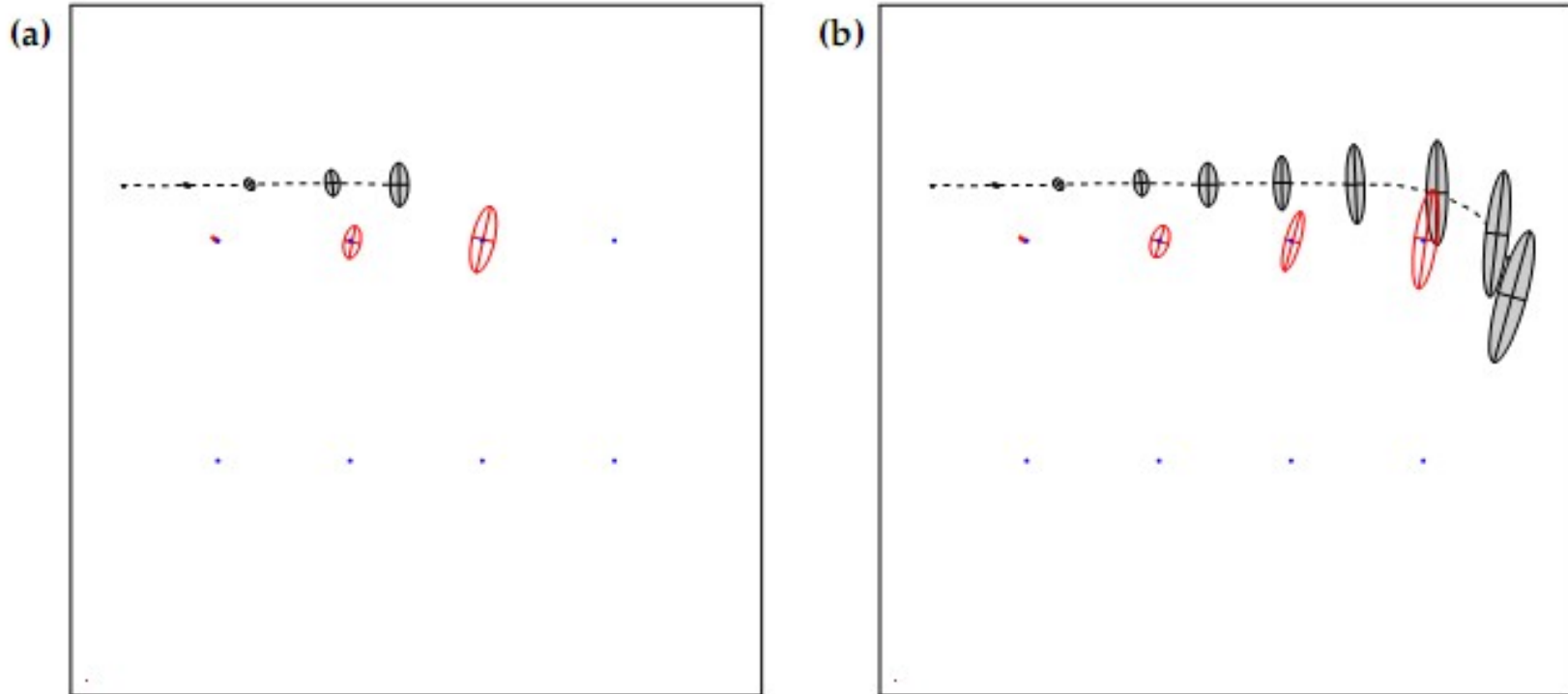
$$16: H_t^i = \frac{1}{q} \begin{pmatrix} -\sqrt{q} \delta_x & -\sqrt{q} \delta_y & 0 & \sqrt{q} \delta_x & \sqrt{q} \delta_y & 0 \\ \delta_y & -\delta_x & -q & -\delta_y & \delta_x & 0 \\ 0 & 0 & 0 & 0 & 0 & q \end{pmatrix} F_{x,j}$$

# EKF-SLAM Algorithmus Teil 4



17: Kalman-Gain:  $K_t^i = \bar{\Sigma}_t H_t^{iT} (H_t^i \bar{\Sigma}_t H_t^{iT} + Q_t)^{-1}$  17: Berechnung des Kalman-Gain  
18:  $\bar{\mu}_t = \bar{\mu}_t + K_t^i (z_t^i - \hat{z}_t^i)$  18,19: Filter-Update  
19:  $\bar{\Sigma}_t = (I - K_t^i H_t^i) \bar{\Sigma}_t$   
20: *endfor*  
21:  $\mu_t = \bar{\mu}_t$   
22:  $\Sigma_t = \bar{\Sigma}_t$   
23: *return*  $\mu_t, \Sigma_t$

# EKF-SLAM: Beispiel

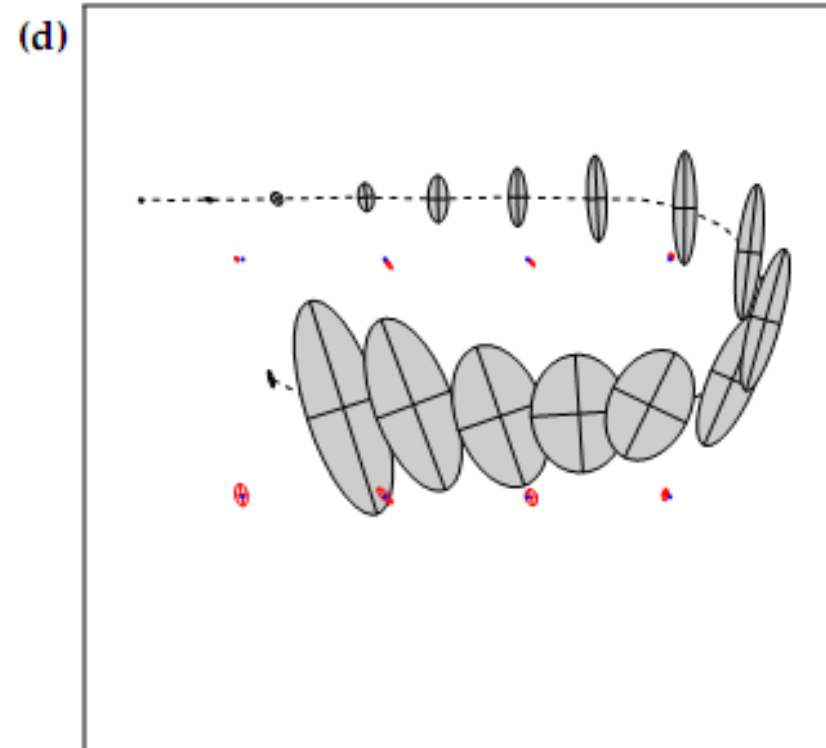
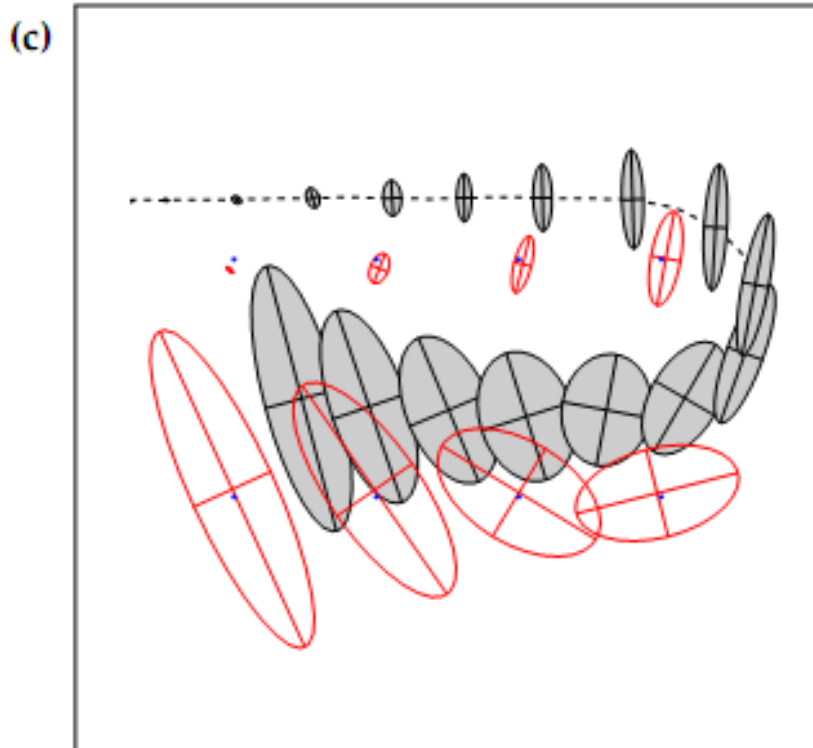


Beispielfahrt eines Roboters in einer Welt mit 8 Landmarken

Mit jedem Schritt steigt die Ungewissheit über die Pose des Roboters sowie der Lage der Landmarken an.



# EKF-SLAM Beispiel



Erst die erneute Sichtung der ersten Landmarke führt zu einer Abnahme der Unsicherheiten (für alle Landmarken und die Pose des Roboters)

# General EKF SLAM



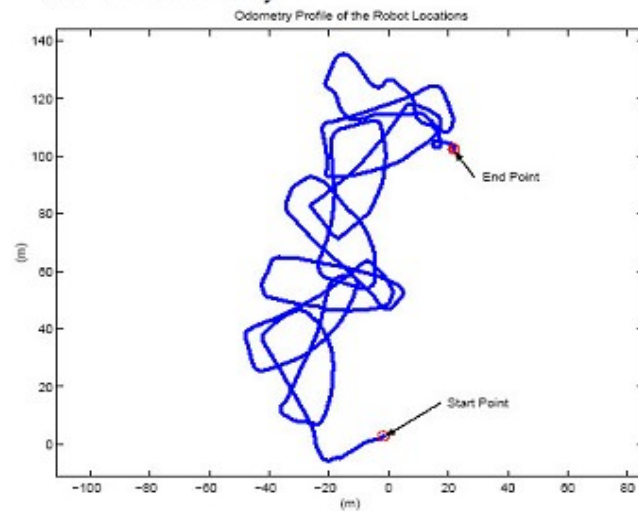
- Korrespondenz oft unbekannt
- Erweiterung des Algorithmus nötig
- Statt einer gegebenen Korrespondenz wird die ML-Korrespondenz (maximum likelihood correspondence) verwendet
- Dem Algorithmus wird statt der Korrespondenz die momentane Größe der Karte übergeben

# EKF-SLAM Beispiel 2

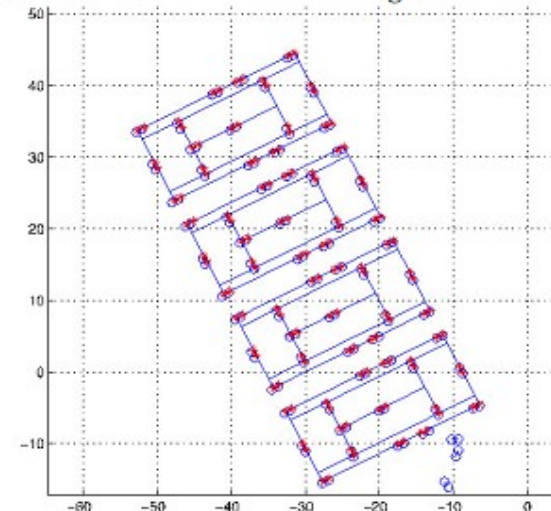
(a) RWI B21 Mobile robot and testing environment



(b) Raw odometry



(c) Result of EKF SLAM with ground truth

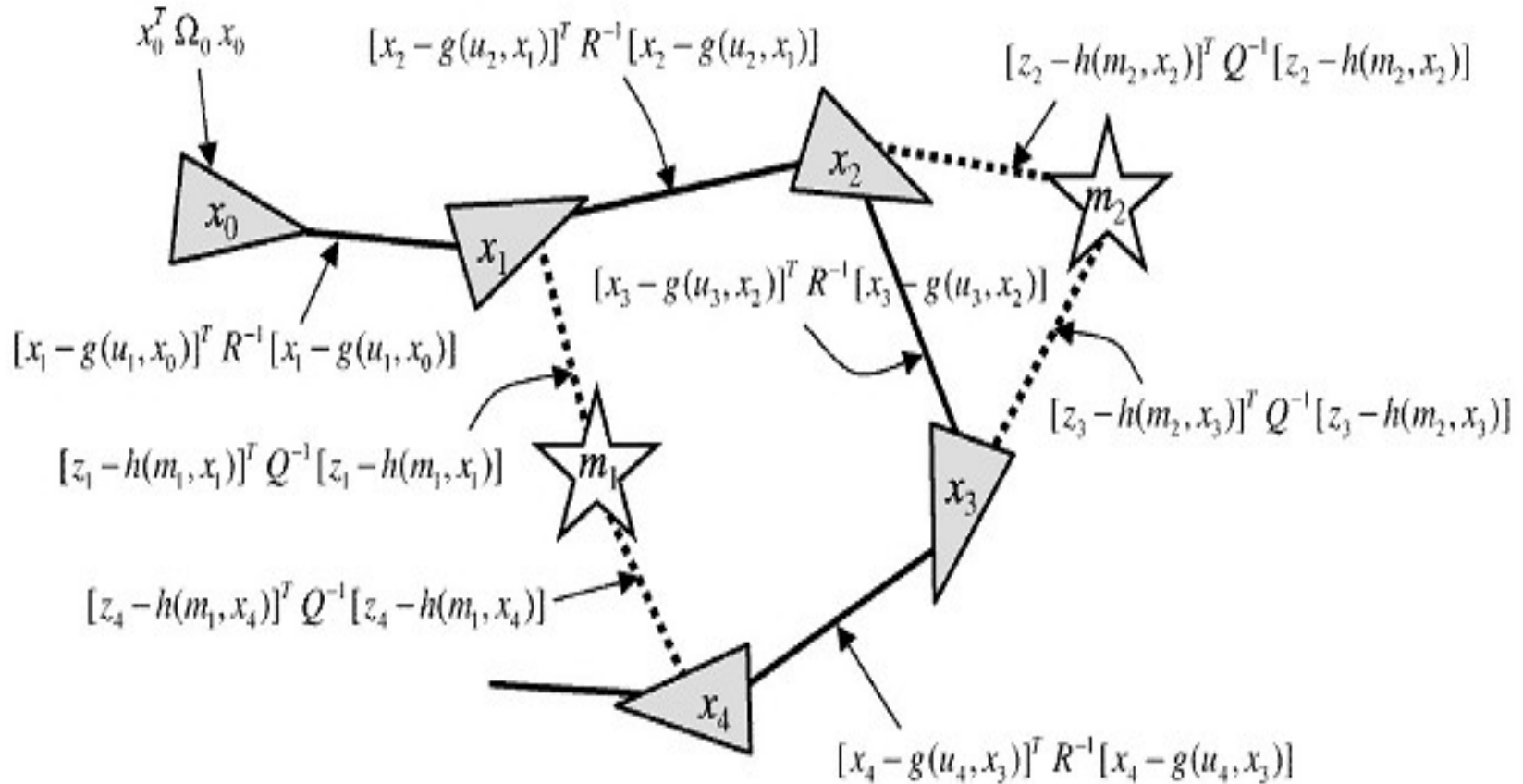


# GraphSLAM



- Full SLAM Verfahren
- Full SLAM Problem formt einen „sparse Graph“ (= Graph mit wenigen Kanten)
- Lazy SLAM (Datenerhebung und -verarbeitung werden getrennt durchgeführt)
- Graph wird reduziert bis er nur noch Roboterposen enthält

# GraphSLAM



# GraphSLAM Algorithmus: Hauptschritte

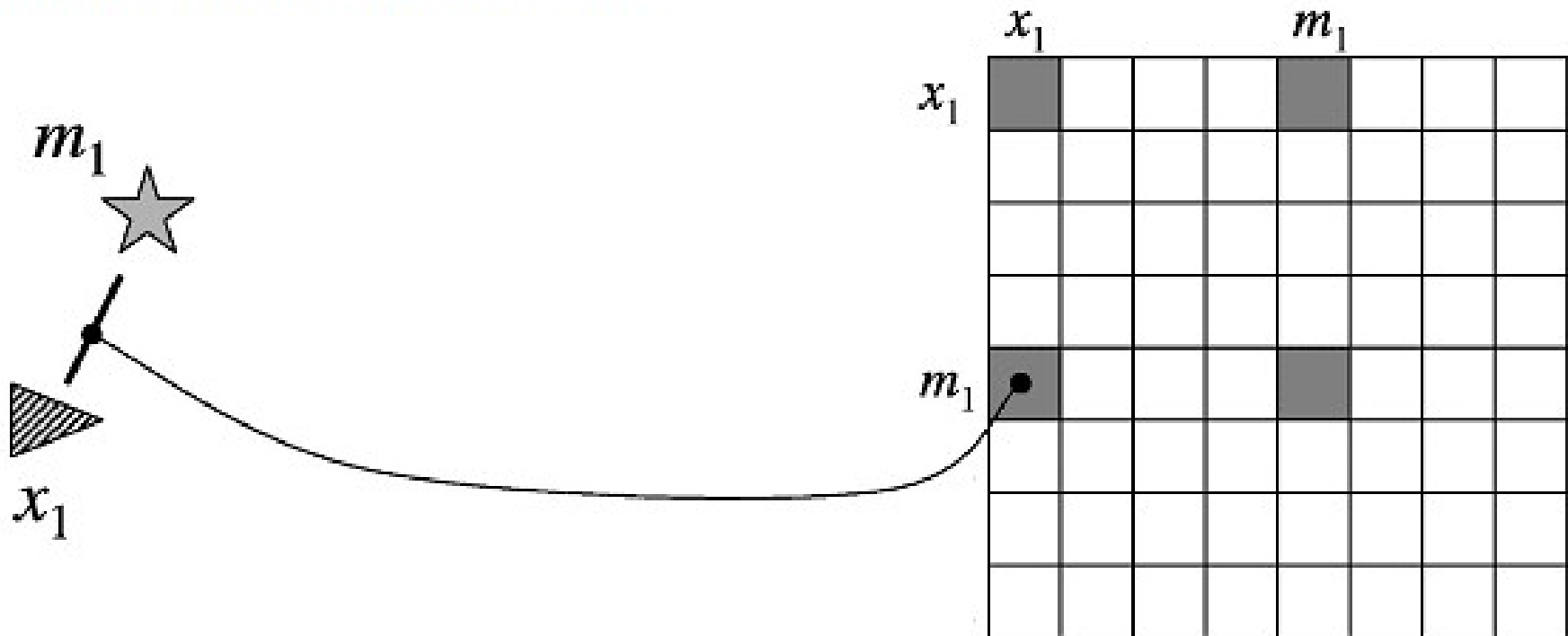


1. *initialize* Initialisierung des Posenerwartungswertvektors
2. *repeat* Erstellung von Informationsmatrix und -vektor
3. *linearize* Reduzieren der Matrix und des Vektors
4. *reduce* Update  $\mu$  (auch Erwartungswerte der Features)
5. *solve*
6. *until convergence*
7. *return  $\mu$*

# GraphSLAM Illustration: Erstellung der Informationsmatrix



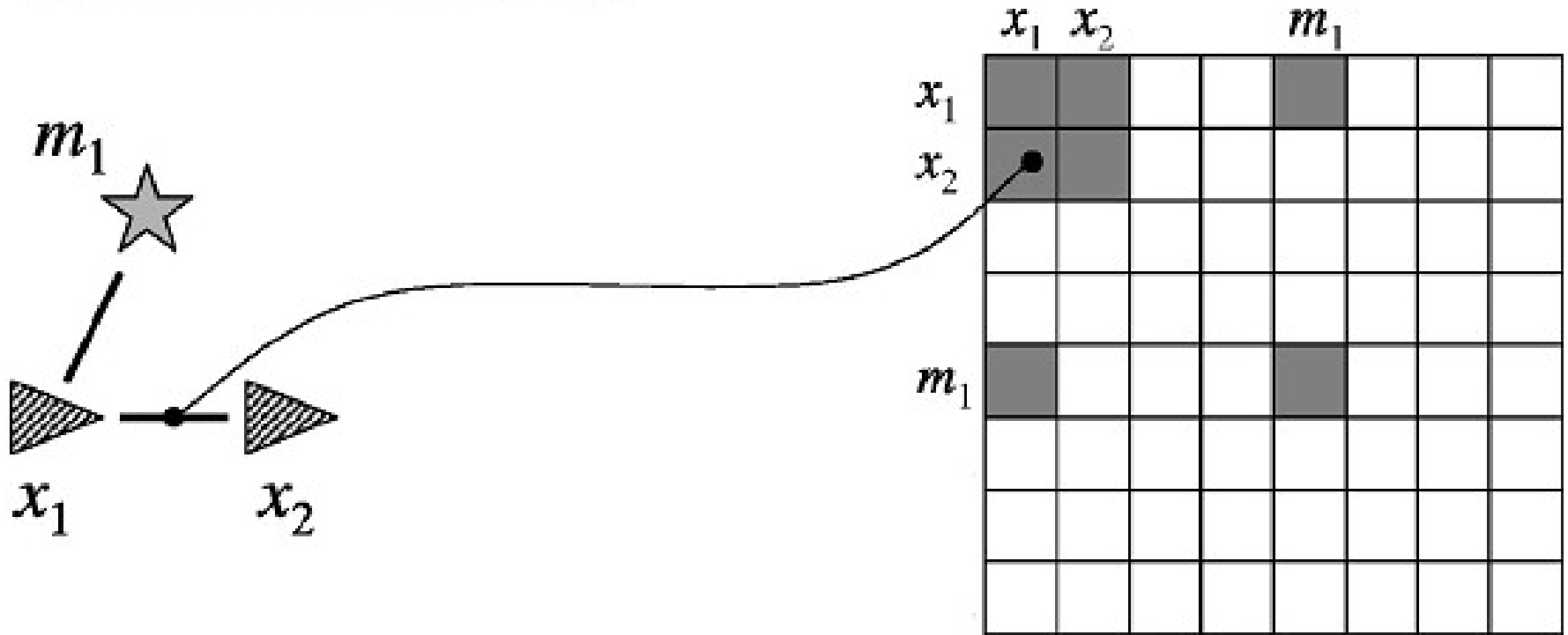
(a) Observation of landmark  $m_1$



# GraphSLAM Illustration: Erstellung der Informationsmatrix



(b) Robot motion from  $x_1$  to  $x_2$

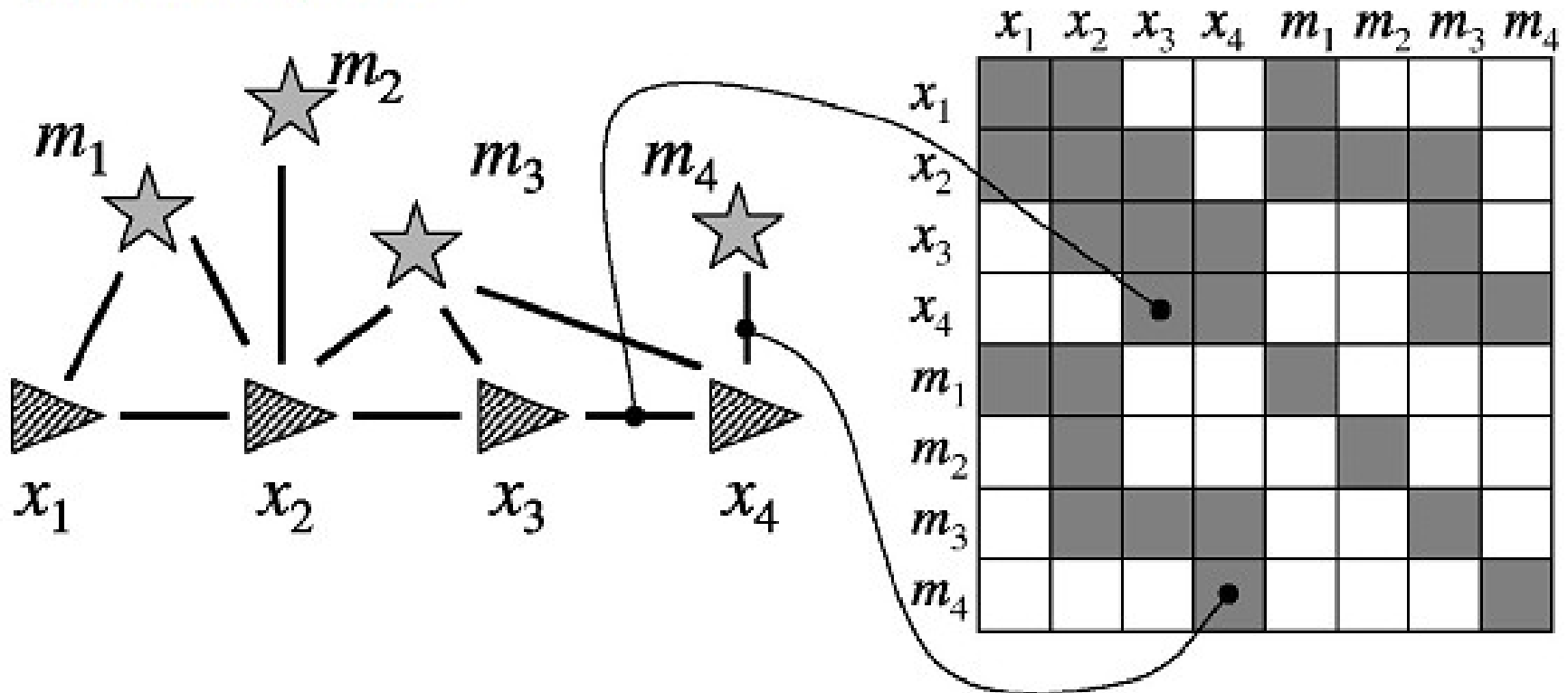




# GraphSLAM Illustration: Erstellung der Informationsmatrix



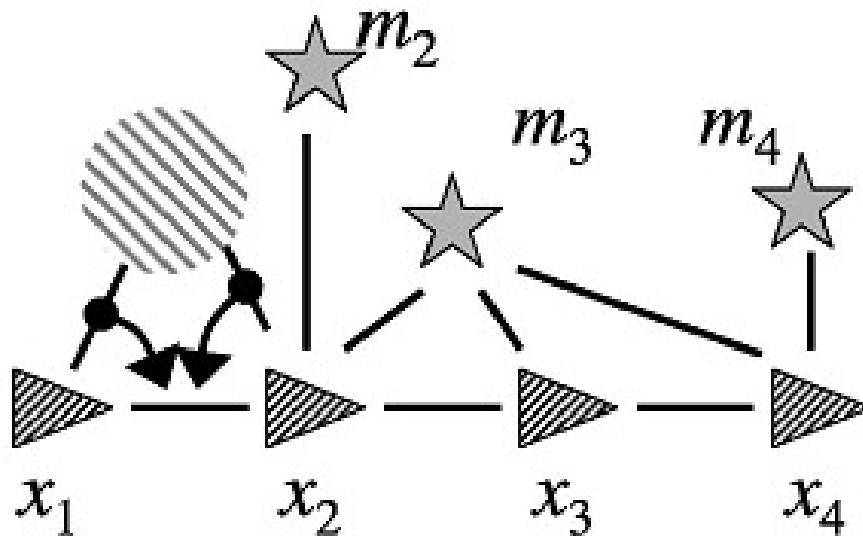
(c) Several steps later



# GraphSLAM Illustration: Reduzieren der Informationsmatrix



(a) The removal of  $m_1$  changes the link between  $x_1$  and  $x_2$

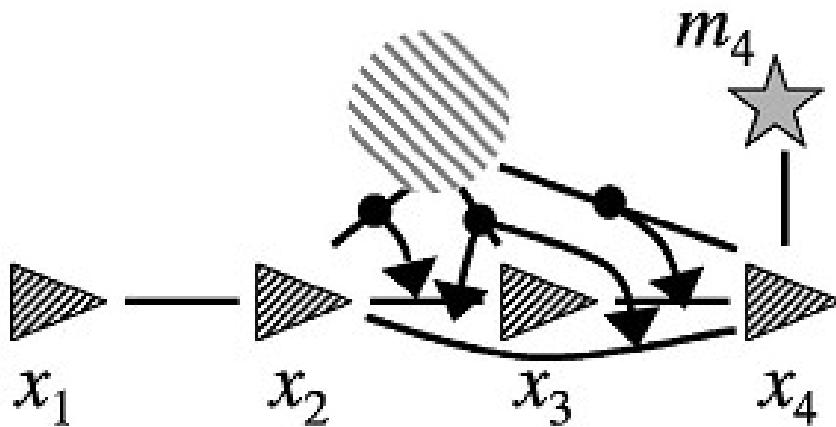


	$x_1$	$x_2$	$x_3$	$x_4$	$m_1$	$m_2$	$m_3$	$m_4$
$x_1$								
$x_2$								
$x_3$								
$x_4$								
$m_1$								
$m_2$								
$m_3$								
$m_4$								

# GraphSLAM Illustration: Reduzieren der Informationsmatrix



(b) The removal of  $m_3$  introduces a new link between  $x_2$  and  $x_4$

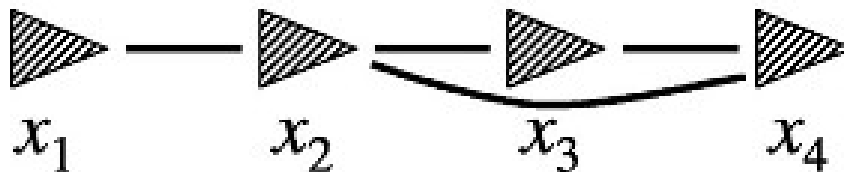


	$x_1$	$x_2$	$x_3$	$x_4$		$m_3$	$m_4$
$x_1$							
$x_2$							
$x_3$							
$x_4$							
$m_3$							
$m_4$							

# GraphSLAM Illustration: Ergebnis



(c) Final Result after removing all map features



	$x_1$	$x_2$	$x_3$	$x_4$				
$x_1$	■	■						
$x_2$	■	■	■	■				
$x_3$		■	■	■				
$x_4$		■	■	■				

# Fast SLAM



- Nutzt Partikelfilter
- Direkte Anwendung von Partikelfiltern auf das SLAM-Problem nicht möglich
  - exponentieller Aufwand
- Als Online oder Full SLAM Verfahren einsetzbar

# Fast SLAM „Trick“



Bei gegebener Pose besitzt das Full SLAM Problem mit bekannter Korrespondenz eine bedingte Unabhängigkeit zwischen 2 disjunkten Featuremengen.

Abhängigkeiten entstehen nur durch die Unsicherheit der Pose.

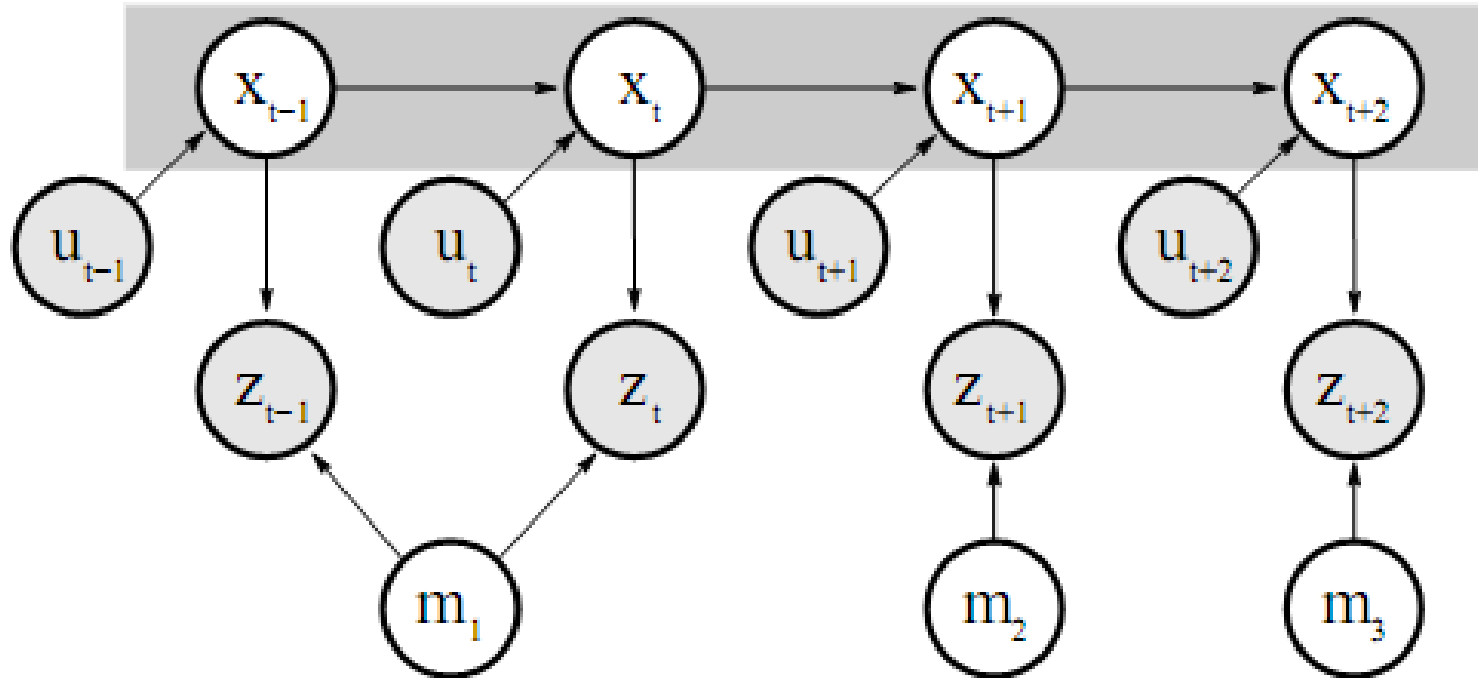
Diese Beobachtung führt zur Möglichkeit „Rao-Blackwellized particle filters“ einzusetzen

# FastSLAM „Trick“



- Jeder Partikel behandelt einen ausgewählten Pfad
- Der Pfad wird ausgeklammert (je Partikel ein Pfad) und die Features werden behandelt als ob sie unabhängig wären
- Jedes Feature wird durch eine eigene Normalverteilung repräsentiert

# FastSLAM Graph



Features werden getrennt von einander betrachtet. Die Gesamtkarte  $m$  besteht aus Teilkarten  $m_1$  bis  $m_3$ .



# FastSLAM Partikel



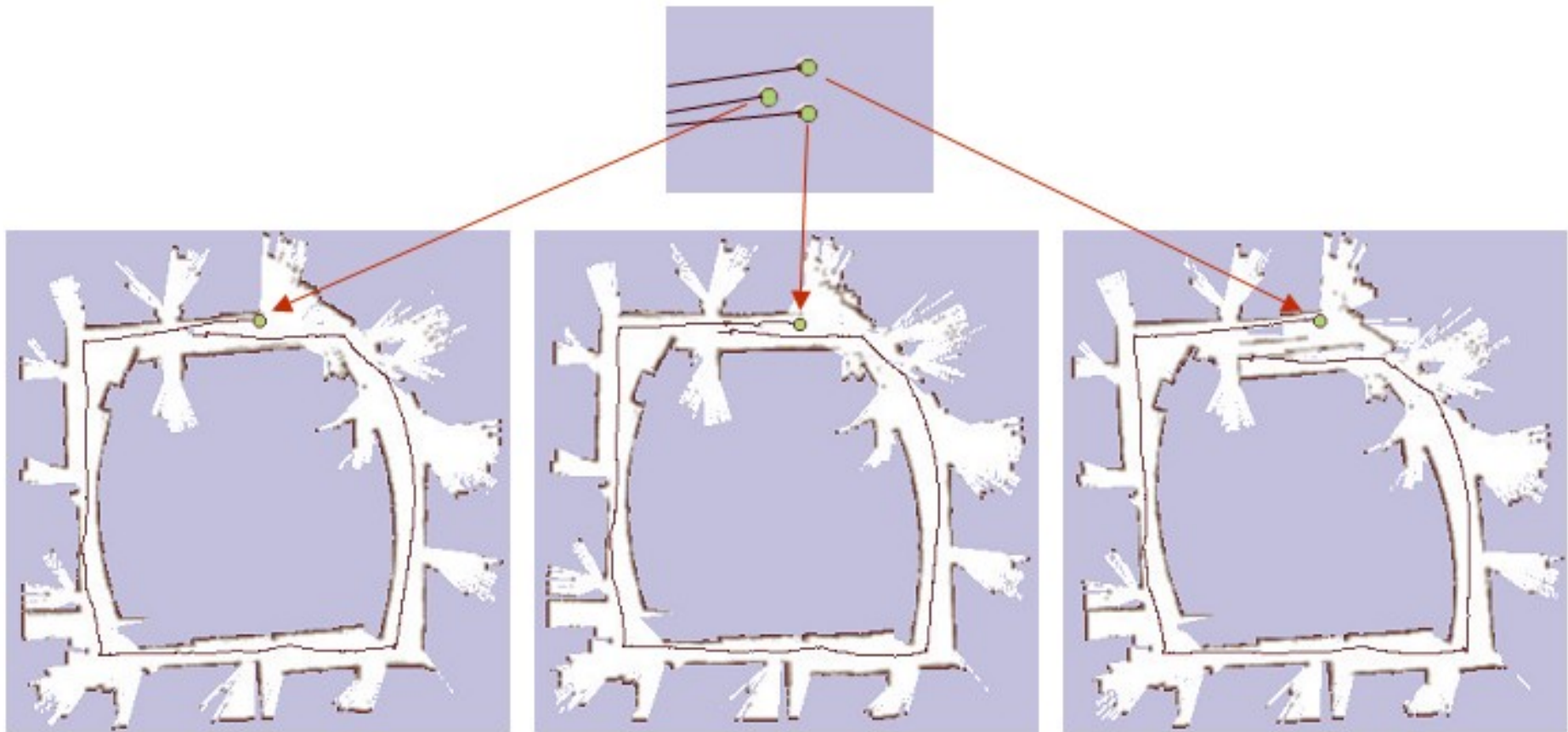
	robot path	feature 1	feature 2	...	feature $N$
Particle $k = 1$	$x_{1:t}^{[1]} = \{(x \ y \ \theta)^T\}_{1:t}^{[1]}$	$\mu_1^{[1]}, \Sigma_1^{[1]}$	$\mu_2^{[1]}, \Sigma_2^{[1]}$	...	$\mu_N^{[1]}, \Sigma_N^{[1]}$
Particle $k = 2$	$x_{1:t}^{[2]} = \{(x \ y \ \theta)^T\}_{1:t}^{[2]}$	$\mu_1^{[2]}, \Sigma_1^{[2]}$	$\mu_2^{[2]}, \Sigma_2^{[2]}$	...	$\mu_N^{[2]}, \Sigma_N^{[2]}$
		: Menge von Kalman-Filtern für die Features			
Particle $k = M$	$x_{1:t}^{[M]} = \{(x \ y \ \theta)^T\}_{1:t}^{[M]}$	$\mu_1^{[M]}, \Sigma_1^{[M]}$	$\mu_2^{[M]}, \Sigma_2^{[M]}$	...	$\mu_N^{[M]}, \Sigma_N^{[M]}$

# FastSLAM Algorithmus: Hauptschritte

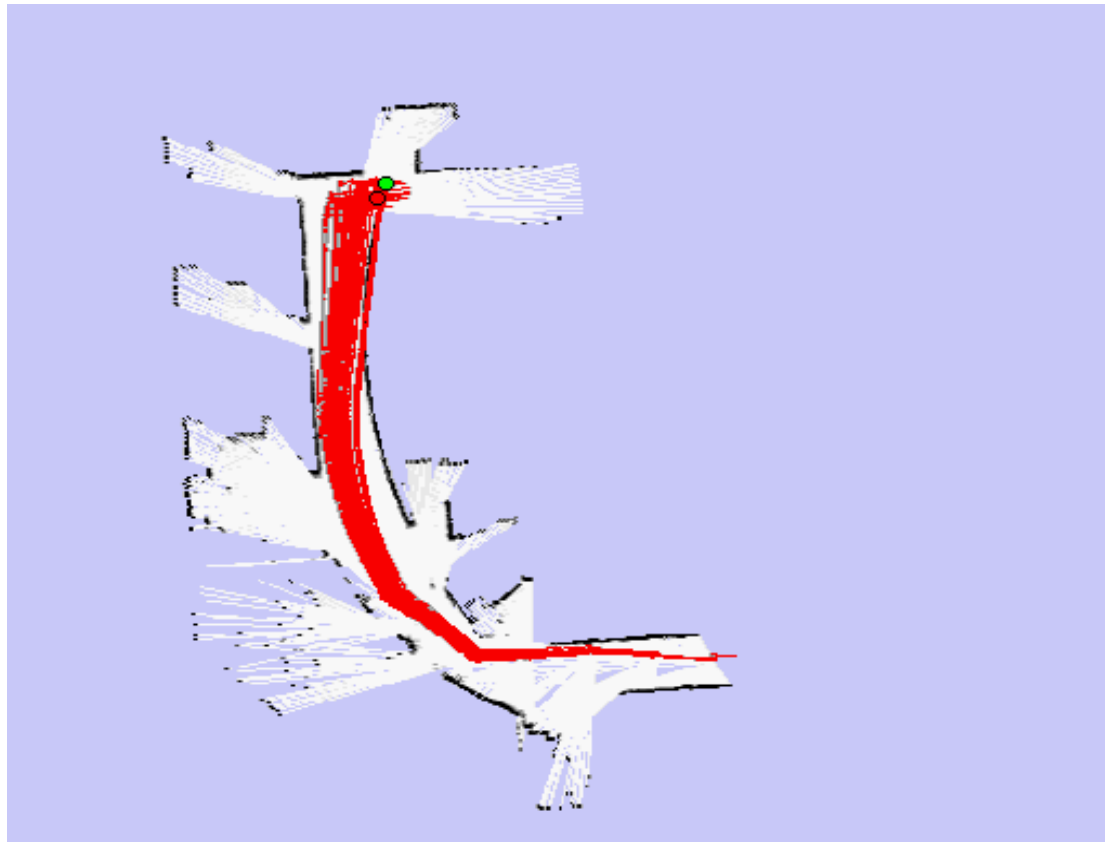


- Do the following  $M$  times:
  - **Retrieval.** Retrieve a pose  $x_{t-1}^{[k]}$  from the particle set  $Y_{t-1}$ .
  - **Prediction.** Sample a new pose  $x_t^{[k]} \sim p(x_t | x_{t-1}^{[k]}, u_t)$ .
  - **Measurement update.** For each observed feature  $z_t^i$  identify the correspondence  $j$  for the measurement  $z_t^i$ , and incorporate the measurement  $z_t^i$  into the corresponding EKF, by updating the mean  $\mu_{j,t}^{[k]}$  and covariance  $\Sigma_{j,t}^{[k]}$ .
  - **Importance weight.** Calculate the importance weight  $w^{[k]}$  for the new particle.
- **Resampling.** Sample, with replacement,  $M$  particles, where each particle is sampled with a probability proportional to  $w^{[k]}$ .

# FastSLAM Beispiel (grid-based)



# FastSLAM Beispiel Video



# Feature Elimiation



- FastSLAM kann die Abwesenheit von Features nutzen
- Dadurch können zweifelhafte/falsche Features (bewegliche Objekte die bei der ersten Beobachtung als Feature erkannt wurden) eliminiert werden



# Feature Elimination Beispiel



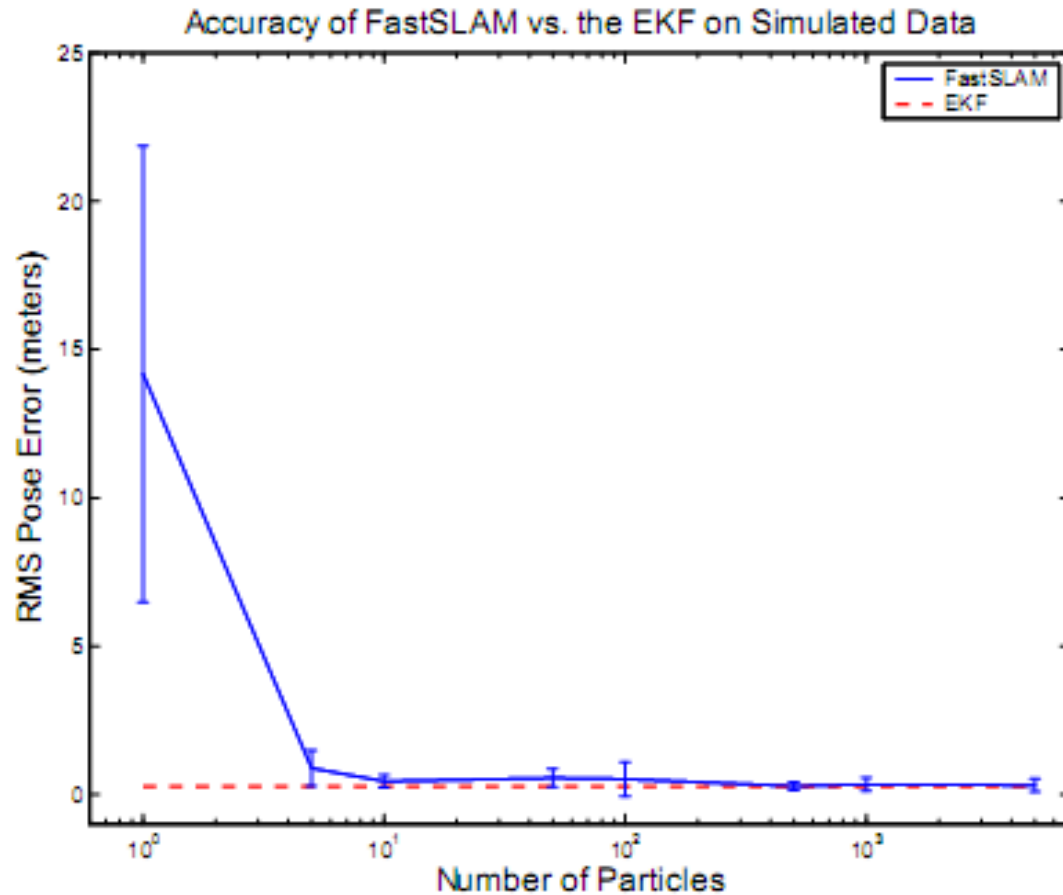
(a) Map without feature elimination



(b) Map with feature elimination



# Vergleich: FastSLAM & EKF



# Quellen



- **Literatur:**

Sebastian Thrun, Wolfram Burgard, Dieter Fox: Probabilistic Robotics (Intelligent Robotics and Autonomous Agents). The Mit Press, 2005, ISBN 978-0-262-20162-9

- **Abbildungen**

<http://robots.stanford.edu/probabilistic-robotics/ppt/>

<http://robots.stanford.edu/probabilistic-robotics/fig.pdf>

- **Website zum Buch**

<http://www.probabilistic-robotics.org/>